

## پارامترهای کنترل کننده کیفیت سنگ مخزن سازند قم در میدان البرز، حوضه قم، ایران مرکزی

محمد رضا رضایی و جواد هنرمند

گروه زمین شناسی، دانشکده علوم، دانشگاه تهران

(دریافت: ۷۸/۱۰/۲۹؛ پذیرش: ۷۹/۲/۷)

### چکیده

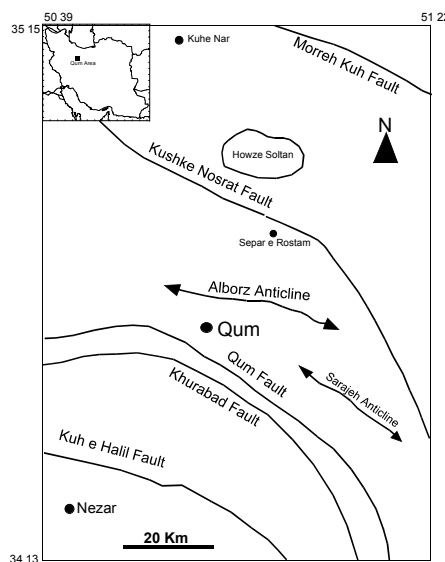
از آنجا که در مخازن کربناته وضعیت سیستم تخلخل و ارتباط بین فضاهای خالی بسیار متنوع و نامنظم می باشد و این تنوع و ناهمگونی بیش از هر عامل دیگری متأثر از شرایط محیط رسوبی و بویژه عملکرد فرایندهای دیاژنتیک می باشد، لذا تأثیر محیط رسوبی و فرآیندهای دیاژنزی بر ویژگیهای مخزنی سازند قم هدف مطالعه کنونی بوده است.

در این مطالعه بیش از ۱۲۰ نمونه مغزه متعلق به سازند قم از چاههای البرز ۶، ۷ و ۱۱ مورد مطالعه میکروسکپی و ماکروسکپی قرار گرفت. مجموع اطلاعات بدست آمده از مطالعه مقاطع میکروسکپی، مطالعات XRD، SEM و داده های پتروفیزیکی حاصل از مغزه ها نظیر تخلخل، تراوایی و اشباع شدگی سیالات، امکان تفکیک بخشهای کربناته سازند قم را به ۳ پتروفاسیس (Petrofacies) و در نتیجه جدایش افقهای مخزنی از غیرمخزنی را فراهم نمود. مارنهای و آهکهای مارنی متعلق به پتروفاسیس ۱ با تخلخل ۱۵/۱-۴/۸۱ درصد و تراوایی ۱-۴۹.۵۵ میلی دارسی بعنوان بهترین پتروفاسیس سازند قم، در میدان مورد مطالعه، محسوب می شوند. مهمترین فاکتورهای کنترل کننده تخلخل و تراوایی در این پتروفاسیس، فراوانی رس و تراکم شکستگیها می باشند. پتروفاسیس ۱ و ۲ بدلیل تأثیر فرایندهای دیاژنتیکی بویژه تراکم و سیمانی شدن، قادر ویژگی های مناسب یک مخزن می باشند. در این مطالعه مشخص گردید که بطور کلی، سیمانی شدن، انحلال و توسعه شکستگیها مهمترین فرآیندهای دیاژنتیکی کنترل کننده کیفیت سنگ مخزن قم می باشند.

واژه های کلیدی: تخلخل، تراوایی، کیفیت سنگ مخزن، سازند قم، میدان البرز، حوضه مرکزی.

## ۱- مقدمه

ساختمان البرز تاقدیسي است به ابعاد تقریبی  $10 \times 60$  کیلومتر که تقریباً در شمال شهرستان قم واقع شده است (شکل ۱). شواهد سطحی و داده‌های حفاری و ژئوفیزیک لرزه‌ای شرکت ملی نفت ایران حاکی از این است که ساختار مورد بحث فقط یک تاقدیس ساده و واحد نیست بلکه می‌توان آن را به دو بخش شرقی و غربی تقسیم نمود. این دو بخش توسط یک افت زین مانند (Saddle) و یک گسل عرضی از هم جدا می‌شوند. اثر سطح محوری در هر دو تاقدیس با روند چین انطباق دارد ولی در محل جدایش آنها، در بخش میانی، روند شمال شرقی - جنوب غربی می‌یابد. در این مطالعه اطلاعات حاصل از چاههای حفاری شده در تاقدیس شرقی مورد استفاده فرار گرفته است.



شکل ۱ - موقعیت جغرافیایی و روند عمومی گسل‌ها، ساختمانهای تاقدیسی و نواحی تکتونیکی-رسوبی در حوضه قم (باغبانی و همکاران، ۱۳۷۵).

سازند قم به لحاظ وجود رخساره‌های متنوع در آن، که می‌توانند بعنوان سنگ منشاء، سنگ مخزن و پوش‌سنگ (قابلیت‌های لازم در یک سیستم نفتی) عمل نمایند، در نقاط مختلف ایران مرکزی مورد توجه واقع شده است. در این مطالعه، ارزیابی مخزنی سازند قم در ساختمان تاقدیسی البرز مورد نظر بوده که این امر می‌تواند هم با هدف بررسی ویژگیهای پتروفیزیکی سازند قم بعنوان سنگ مخزن نفت در چاههای البرز و هم بررسی ویژگیهای پetrofیزیکی این

سازند جهت پی بردن به قابلیت این مخازن خالی شده (Depleted Reservoirs) در راستای پروژه ذخیره سازی گاز (Gas Storage) صورت گیرد. به لحاظ ارتباط تنگاتنگ و نقش مؤثر دو عامل محیط رسوبگذاری (Diagenetic Processes) و فرایندهای دیاژنتیک (Sedimentary Environment) بر کنترل این ویژگیهای مخزنی، تأثیر این دو عامل بررسی خواهد شد.

در مطالعات ارزیابی مخزن جهت تخمین میزان ذخیره و حجم قابل برداشت هیدروکربور از مخزن، پارامترهای متنوعه همچون نوع و مقدار تخلخل، مقدار تراوایی، درصد اشباع شدگی سیالات مخزن، گرانروی سیال و فشار مخزن در نظر گرفته می‌شود. در صورتیکه لایه‌های تشکیل دهنده مخزن، بلحاظ ویژگیهای پتروفیزیکی، یکنواخت باشد شبکه توزیع تخلخل و تراوایی در آن یکنواخت خواهد بود و می‌توان تا حد زیادی به نتایج ارزیابی مخزن اطمینان داشت. اما تنوع در نوع و بافت سنگ مخزن، عملکرد فرایندهای دیاژنتیک و عوامل دیگر باعث می‌شود که افقهای مختلفی از مخازن کربناته و آواری با ویژگیهای مخزنی بسیار متنوع در قالب یک مجموعه مخزنی وجود داشته باشد. این امر باعث توزیع غیریکنواخت سیستم تخلخل و در نتیجه ناهمگونی تراوایی در مخزن می‌گردد و این ناهمگونی به نوبه خود تاثیر فاحشی بر تخمین ذخیره هیدروکربوری و همچنین بازدهی مؤثر مخزن خواهد داشت. لذا اولین و مهمترین گام در ارزیابی مخازن هیدروکربوری، تعیین دقیق ویژگیهای مخزنی (نظیر تخلخل، تراوایی و وضعیت ارتباط بین فضاهای خالی) در بخش‌های مختلف و در نتیجه تفکیک آنها به بخش‌های مخزنی مشخص، تحت عنوان واحدهای جریانی (Flow Units)، و بخش‌های غیرمخزنی می‌باشد.

به لحاظ تاثیر عوامل مختلف بر سیستم تخلخل و تراوایی در کربناته، از چندین دهه گذشته مطالعات زیادی در زمینه تقسیم بندی تخلخل در سنگهای کربناته انجام شده که در هر یک از این طبقه بندیها یکسری از ویژگیها ملاک بوده است. جامع‌ترین طبقه‌بندی توسط چوکت و پری (Choquette and Pray, 1970) ارائه شده است که مبنای آن نحوه زایش و محیط تشکیل انواع تخلخل می‌باشد. در این مطالعه نیز انواع تخلخل بر مبنای همین طبقه بندی شناسایی و معرفی می‌شوند.

## ۲-زمین‌شناسی منطقه مورد مطالعه

سازند قم معرف آخرین پیشروی دریا در ایران مرکزی بوده و بطورکلی مجموعه‌ای از رخسارهای آواری، تبخیری و آهکی-مارنی را در بر می‌گیرد. تغییرات ضخامت و رخساره در بخش‌های مختلف این سازند، در مناطق مختلف ایران مرکزی، چشمگیر بوده که می‌تواند حاکی از عدم ثبات تکتونیکی حوضه و در نتیجه پیشرویها و پسرویهای متعدد در آن باشد. عملکرد

گسلهای مهم موجود در منطقه یکی از مهمترین فاکتورهای مؤثر در بی ثباتی تکتونیکی حوضه محسوب می‌گردد. تغییرات جانبی ضخامت و رخساره سازند قم از یک طرف ناشی از عملکرد گسلهایی بوده است که قبل از تشکیل رسوبات سازند قم در ساختار و شکل هندسی حوضه و پستی و بلندی کف آن نقش اساسی داشته اند و از طرف دیگر ناشی از عملکرد گسلهایی می‌باشد که همزمان با ته نشست بخش‌های مختلف این سازند فعال بوده و باعث تغییر شرایط محیط رسوبی در زمانها و مکانهای مختلف گردیده اند (شکل ۱). مطالعات چینه شناسی ناحیه‌ای نشان می‌دهد که بیشترین تغییرات در رخساره و ضخامت سازند قم در امتداد شمال شرق-جنوب غرب رخ داده است. حدود این تغییرات تا حد زیادی بوسیله گسلهای موجود در حوضه قم، که از روند کلی شمال غربی-جنوب شرقی برخوردارند، مشخص می‌شود (باغبانی و همکاران، ۱۳۷۵). این گسلها به ترتیب از جنوب غرب به شمال شرق عبارتند از: گسل کوه حلیل (Kuh-e Halil Fault)، گسل خورآباد (Khurabad Fault)، گسل قم (Qum Fault)، گسل کوشک نصرت (Morreh Kuh Fault) و گسل مره کوه (Kushk-e Nosrat Fault).

بطور کلی حوضه قم را بر اساس گسترش بخش‌های مختلف سازند قم و عملکرد گسلها می‌توان به پنج ناحیه تکتونیکی-رسوبی (Tecto-Sedimentary Regions) تقسیم کرد که حدود این مناطق پنجگانه بوسیله پنج گسل اصلی که در بالا اشاره شد مشخص می‌شود (شکل ۱). این پنج ناحیه تکتونیکی-رسوبی به ترتیب از جنوب غرب به شمال شرق عبارتند از:

۱-ناحیه نیزار - قبادیز (Neyzar-Qubadbezan region)

۲-ناحیه کهک - خورآباد (Kahak-Khurabad region)

۳-ناحیه دوبرادر (Dobaradar region)

۴-ناحیه البرز - سپر رستم (Alborz-Separ-e Rostam region)

۵-ناحیه مره کوه (Morreh Kuh region)

میادین نفت (تاقدیس البرز) و گاز (تاقدیس سراجه) حوضه قم، در ناحیه البرز- سپر رستم، بین دو گسل قم در جنوب غرب و کوشک نصرت در شمال شرق واقع می‌باشد. در این ناحیه سازند قم شامل بخش‌های a تا f بوده اما ضخامت آهکهای ریفی زرد رنگ بخش f به سمت جنوب غرب کاهش یافته بطوریکه در مخازن البرز و سراجه، بخش f وجود ندارد. از طرفی بخش تبخیری قاعده سازند قرمز بالایی فقط در این بخش گسترش داشته و مستقیما روی مارنهای آهکهای مارنی بخش e قرار گرفته است و به سمت شمال شرق این افق انیدریتی نازک شده و بالاخره ناپدید می‌شود.

مطالعه سازند قم در چاههای البرز، ۶، ۷ و ۱۱ و تعیین ویژگیهای بافتی و فراوانی آلومینیم مختلف در آنها، منجر به شناسایی ۱۰ میکروفاسیس گردید (هنرمند، رضایی و دیگران، ۱۳۷۹). میکروفاسیس‌های ۱۰ گانه با توجه به ویژگیها، به ترتیب، به رخدارهای حوضه (Basin)، بخش عمیق جلوی ریف (Deep Fore-reef or Distal Talus)، بخش کم عمق جلوی ریف (Shallow Fore-reef or Proximal Talus)، ریف (Reef)، شلف محدود شده (Restricted Shelf)، پشته‌های اووئیدی (Oolitic Shoal)، لاغون (Shelf Lagoon)، پهنه جزر و مدی (Intertidal) و پهنه بالای جزر و مدی (Supratidal) نسبت داده شدند که بر روی یک رمپ کربناته نهشته شده‌اند.

### ۳-روش مطالعه

به دلیل اینکه کلیه چاههای البرز در یک ناحیه تکتونیکی-رسوبی (Tecto-Sedimentary Region) یعنی ناحیه البرز-سپر رستم قرار دارند و تغییرات رخداره و ضخامت سازند قم در این محدوده از حوضه وسیع قم نسبتاً کم می‌باشد، لذا به نظر می‌رسد که تلفیق اطلاعات بدست آمده از چاههای البرز با یکدیگر، نتایج قابل اعتمادی را حاصل نماید. با توجه به این موضوع و به دلیل عمق زیاد چاههای البرز، ۶، ۷ و ۱۱ که تمام بخش‌های سازند قم و حتی سازند قرمز پائینی را دربر می‌گیرد و زیاد بودن مقدار مغزه‌های متعلق به این چاهها، این ۳ چاه جهت مطالعه انتخاب شدند که چاههای البرز ۶ و ۷ به دلیل واقع شدن در خارج از محدوده کلوژر (Closure) نفتی ساختمان البرز، خشک محسوب شده در صورتیکه چاه البرز ۱۱ یک چاه بهره‌دار (Productive) بوده است.

در این مطالعه مجموعه اطلاعات زمین‌شناسی و پتروفیزیکی حاصل از مغزه‌های متعلق به سازند قم در چاههای مذکور و همچنین نتایج آنالیز XRD و SEM نمونه‌های مذکور، به شرح ذیل، بکار گرفته شد.

۱- مطالعه ماکروسکوپی بیش از ۵۰۰ متر مغزه،

۲- تخلخل مغزه‌ها (Core Porosity) :

۱-۱- تخلخل حاصل از مغزه کامل (Whole Core Porosity) به روش انبساط گاز (Gas Expansion)

۱-۲- تخلخل حاصل از پلاگ (Core Plug Porosity) به روش مجموع سیالات (Summation of Fluids)

۲- تراوائی مغزه‌ها (Core Permeability)

۴- اشباع شدگی آب، نفت و گاز (Water, Oil and gas Saturation)

۵- درصد قابل حل در اسید (Acid Solubility) برای تعداد ۱۵۰ نمونه مغزه،

۶- مطالعات پتروگرافی:

در این بخش مقاطع نازک تهیه شده از مغزه ها، در فواصل ۳۰ سانتیمتری، مورد مطالعه قرار گرفت. جهت شناسایی کانیهای کربناته تعداد ۱۱۵ نمونه انتخاب و مقاطع نازک آنها با آلیزارین رد-اس (S) (Alizarine Red-S) و فری سیانید پتاسیم (Potassium Ferricyanide) بنا به روش پیشنهادی Dickson (1965) رنگ آمیزی گردید.

۷- آنالیز نمونه های انتخابی (۴ نمونه) از پتروفاسیس های مختلف توسط اشعه ایکس (XRD) جهت شناسایی کانیهای تشکیل دهنده

۸- مطالعه نمونه های انتخابی (۷ نمونه) از پتروفاسیس های مختلف توسط میکروسکوپ الکترونی (SEM) جهت مطالعه بافت (Texture)، نوع و نحوه پراکندگی فضاهای خالی (Pore Type) و شناسایی کانیهای اتوژنیک.

#### ۴- خصوصیات پتروفیزیکی بخشهای کربناته سازند قم

از آنجا که تخلخل و تراوایی بعنوان ابتدایی ترین و مهمترین فاکتورهای کنترل کننده کیفیت مخزنی محسوب می شوند، در ادامه نوع، درصد و فراوانی تخلخل و همچنین تغییرات تراوایی و عوامل مؤثر بر آنها بررسی می شوند.

##### ۴-۱- تخلخل (Porosity)

با مطالعه مغزه ها و مقاطع نازک تهیه شده از نمونه های سازند قم در چاههای البرز، انواع تخلخل اولیه و ثانویه در آن قابل تشخیص می باشد. تخلخل اولیه غالباً از نوع بین دانه ای (Intergranular) و درون اسکلتی (Intraskeletal) و تخلخل ثانویه از نوع قالبی (Moldic)، حفره ای (Vuggy)، بین کریستالی (Intercrystalline)، شکستگی (Fracture) و کanalی (Channel) می باشد.

##### ۴-۱-۱- تخلخل اولیه (Primary Porosity)

بخاطر تاثیر عامل تراکم و اشغال بخش عمده تخلخل بین دانه ای و درون اسکلتی توسط سیمان، بویژه سیمان کلسیتی، مقدار تخلخل اولیه در بخشهای کربناته سازند قم بشدت کاهش یافته و در محدوده ۱-۱۰ درصد تغییر می کند. تخلخل بین دانه ای غالباً در سنگهای کربناته دانه ریز نظیر مارنها و آهکهای مارنی بخشهای  $e$  و  $c_4$ ، در قالب تخلخلهای ریز موجود در ماتریکس و تخلخل درون اسکلتی در بخشهای گرینستون-پکستون که در آنها به فراوانی قطعات اسکلتی نظیر بریوزوئرها و فرامینیفرها دیده می شود وجود دارد.

#### ۱-۲-۱-۴- تخلخل ثانویه (Secondary Porosity)

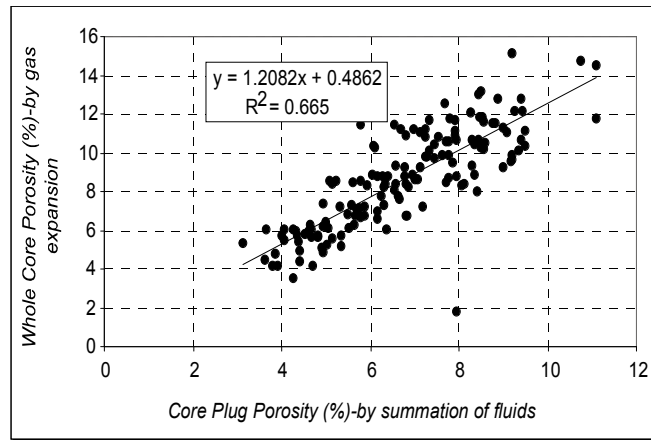
تخلخل موجود در سازند قم عمدتاً از نوع ثانویه است، لذا کیفیت مخزنی آن تا حد زیادی وابسته به مقدار و نوع تخلخل ثانویه می‌باشد. عمدت ترین انواع تخلخل ثانویه در بخش‌های کربنات، انواع قالبی، حفره‌ای و شکستگی می‌باشد.

#### ۱-۲-۱-۵- تخلخل قالبی (Moldic porosity)

این نوع تخلخل به صورت تخلخل قالبی اووئیدی (Oomoldic porosity)، تخلخل قالبی اسکلتی (Biomoldic porosity) مشاهده می‌شود. تخلخل قالبی اووئیدی در بخش‌های اووئید گرینستون قاعدة بخش ۳ وجود داشته و مقدار آن بین صفر تا ۱۶ درصد در تغییر می‌باشد. تخلخل قالبی اسکلتی، که در نتیجه اتحال بخش‌های اسکلتی همچون بریوزوثرها، فرامینیفرها، دوکفه ایها، برکیوبودها ایجاد شده است، عمدتاً در رخساره‌های پکستون-گرینستون بخش‌های ۱ و ۳ قابل مشاهده است. مقدار این دو نوع تخلخل مجموعاً بین صفر تا ۷.۵ درصد در تغییر است.

#### ۱-۲-۲- تخلخل شکستگی (Fracture Porosity)

تخلخل حاصل از شکستگیها عمدتاً در نمونه‌های مغزه و مقاطع میکروسکپی مارنها و آهکهای مارنی بخش ۴ و ۵ سازند قم قابل رویت می‌باشد (تصویر ۱). بطورکلی شکستگیها نقش چندان قابل ملاحظه‌ای در افزایش تخلخل سنگ نمی‌کنند، بطوریکه مقایسه تخلخل ماتریکس بدست آمده از نمونه‌های پلاگ (Plug) مارنها و آهکهای مارنی واجد شکستگی با تخلخل کل بدست آمده از نمونه‌های مغزه کامل (Whole Core) متعلق به همان بخشها حاکی از این است که شکستگیها، حداقل، باعث افزایش ۱-۱/۵ درصد در میزان تخلخل کل سنگ گردیده‌اند (شکل ۲). با توجه به نمودار شکل ۲، عرض از مبدأ خط برآش به عنوان درصد تخلخل ثانویه بویژه تخلخل شکستگی در نظر گرفته شد. این مقدار در محدوده ۱-۱/۵ درصد تغییر می‌کند.

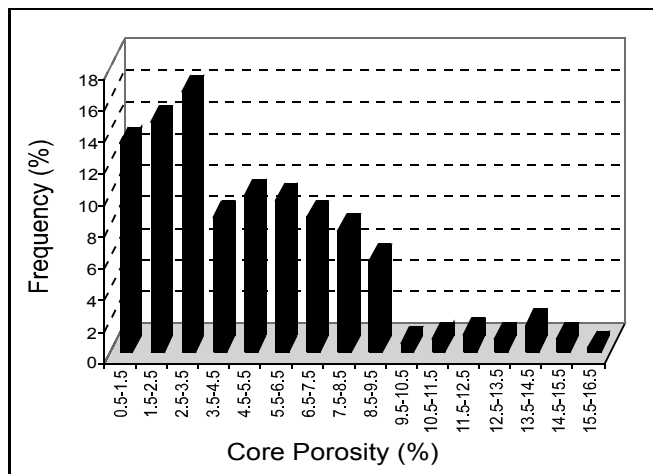


شکل ۲ - نمودار تغییرات تخلخل بدست آمده از مغزه کامل در مقابل تخلخل بدست آمده از نمونه های پلاگ متعلق به سازند قم در چاه البرز ۱۱.

علت اختلاف در مقادیر تخلخل بدست آمده از دو روش انبساط گاز (Gas Expansion) و مجموع سیالات (Summation of fluids) این است که در روش انبساط گاز بدلیل امکان نفوذ گاز در فضاهای خالی و مجرای ارتباطی بسیار باریک، بخشی از تخلخل محاسبه شده از نوع ثانویه می باشد در صورتی که تخلخل حاصل از روش مجموع سیالات شامل فضاهای خالی و مجرای خیلی باریک نشده و عمدتاً از نوع تخلخل اولیه و تا حدودی مفید می باشد. مقایسه مقادیر تخلخل بدست آمده از نمونه های پلاگ به روش مجموع سیالات سیالات از نوع ریزتخلخل (Microporosity) اولیه موجود درماتریکس است. Craze (1950) تائید کننده این موضوع می باشد که تخلخل بدست آمده به روش مجموع فراوانی تخلخل در سازند قم در جدول ۱ و شکل ۳ ارائه شده است.

جدول ۱ - فراوانی تخلخل در سازند قم.

درصد فراوانی	درصد تخلخل
۴۴	۴/۵
۴۷	۴/۵ - ۹/۵
۹	۹/۵ - ۱۶/۵



شکل ۳ - نمودار فراوانی تخلخل مغزه در نمونه های سازند قم در چاه البرز ۱۱.

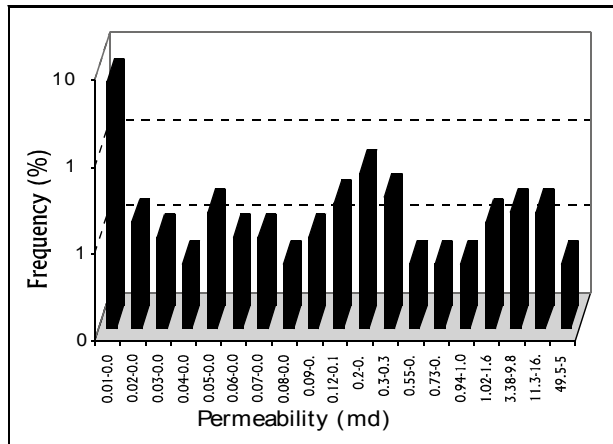
#### ۴-۲-۴- تراوایی (Permeability)

اطلاعات تراوایی مربوط به سازند قم محدود به داده هایی است که در چاههای البرز<sup>۶</sup>، ۷ و ۱۱ از نمونه های پلاگ (Plug) و مغزه کامل (Whole core) متعلق به بخش های e، c<sub>4</sub>، c<sub>3</sub>، c<sub>1</sub> و c<sub>2</sub> بدست آمده است.

مقدار تراوایی در بخش های کربناته سازند قم در محدوده ۴۹/۵۵-۰/۱ میلی دارسی در تغییر است. این مقدار در بیش از ۷۰ درصد نمونه ها حدود ۰/۱ میلی دارسی و کمتر می باشد و فقط در بخش های واجد شکستگیها است که تراوایی افزایش پیدا کرده و به ۴۹/۵۵ میلی دارسی می رسد (جدول ۲ و شکل ۴).

جدول ۲ - فراوانی تراوایی در سازند قم.

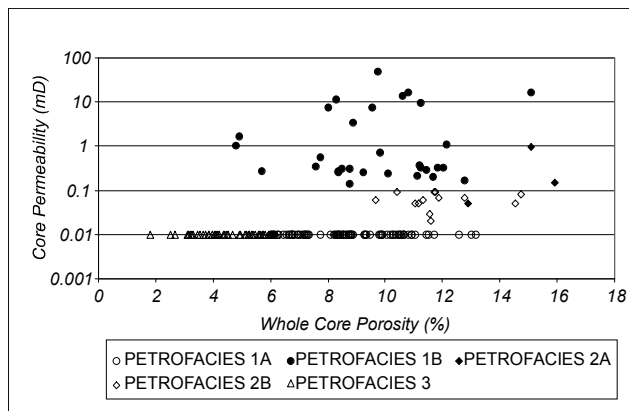
فراوانی (درصد)	مقدار تراوایی (میلی دارسی)
۷۹/۷	۰/۰۱-۰/۱
۲۵	۰/۱-۱
۷	۱-۱۰
۵	۱۰-۵۰



شکل ۴ - نمودار فراوانی تراوایی مغزه در نمونه های سازند قم در چاه البرز.

##### ۵- عوامل کنترل کننده کیفیت مخزنی سازند قم

همانطور که در نمودار تخلخل-تراوایی بخشهای کربناته سازند قم (شکل ۵) ملاحظه می شود ارتباط بین تخلخل و تراوایی این نمونه ها خطی نبوده بلکه موقعیت نمونه ها بسیار پراکنده است. مشاهده چنین پراکندگی در موقعیت نمونه ها در نمودار تخلخل و تراوایی حاکی از این است که تخلخل تنها اصلی کنترل کننده تراوایی بخشهای کربناته سازند قم نبوده بلکه عوامل دیگری نظیر فرآیندهای دیاژنتیک، محیط رسوی و ویژگیهای بافتی سنگ، که در واقع کنترل کننده نوع تخلخل و وضعیت مجاري ارتباطی فضاهای خالی می باشند، نیز می توانند در کنترل مقدار تراوایی آنها مؤثر باشند (Sun, 1998).



شکل ۵ - موقعیت نمونه های مغزه متعلق به پتروفاسیس های مختلف سازند قم روی نمودار تخلخل-تراوایی.

#### ۱-۵-عوامل کنترل کننده مقدار تراوایی

بطور کلی قابلیت هدایت سیال در سنگ تابعی از اندازه مجاری ارتباطی فضاهای خالی (Pore Throats Size) می‌باشد. طبیعتاً هر عاملی نظیر مقدار و نوع تخلخل، محیط رسوبی، فرایندهای دیاژنتیک، ویژگیهای بافتی و عمق تدفین که باعث تغییر اندازه مجاری ارتباطی گردد، بر تراوایی سنگ اثر دارد. بلحاظ اهمیت فاکتور تراوایی در ارزیابی میزان تولید مخزن، مختصراً عوامل کنترل کننده آن در کربناتهای سازند قم مورد بررسی قرار می‌گیرد:

##### ۱-۱-۵-تخلخل

یکی از عوامل کنترل کننده تراوایی سنگ، مقدار و نوع تخلخل است. رابطه تخلخل با مقدار تراوایی کربناتهای سازند قم در نمودار شکل ۵ بخوبی قابل مشاهده است. مطابق این شکل ارتباط بین تخلخل و تراوایی چندان قوی نبوده و حالت پراکنده ای در موقعیت داده ها روی نمودار دیده می‌شود. بعنوان مثال در نمونه های با تخلخل ۱۰ درصد، تراوایی در محدوده ۴۹/۵۵ - ۰/۰۱ میلی دارسی تغییر می‌کند.

بر حسب مقدار تخلخل و تراوایی می‌توان نمونه های سازند قم را در سه محدوده مشخص گروه بندی نمود که موقعیت این ۳ گروه با حروف A، B و C در جدول ۳ مشخص شده است.

جدول ۳: مشخصات تخلخل و تراوایی سازند قم در چاه البرز<sup>۶</sup>

موقعیت نمونه ها روی نمودار	تخلخل (درصد)	تراوایی (میلی دارسی)	نوع تخلخل	موقعیت در سازند قم
A	۱/۸ - ۱۳/۷	< ۰/۰۱	ریز تخلخل موجود در ماتریکس	بخش‌های a,b,c <sub>1</sub> ,c <sub>2</sub> و بخش بالایی c <sub>4</sub> ,e c <sub>3</sub>
B	۹/۲ - ۹/۱۵	۰/۰۵ - ۱	ریز تخلخل موجود در ماتریکس، حفره ای و قالبی	قسمت قاعده ای بخش c <sub>3</sub>
C	۴/۸ - ۱۵/۱	۰/۱۴ - ۴۹/۵۵	ریز تخلخل موجود در ماتریکس و شکستگی	قسمتهای دارای شکستگی در بخش e

#### ۱-۵-۲-پارامترهای دیاژنتیک

دراکثر مخازن کربناته تخلخل و تراوایی عمدهاً توسط فرآیندهای دیاژنتیک کنترل می‌شوند (Tucker, 1991). یکسری از فرآیندهای دیاژنتیکی نظیر فشردگی و سیمانی شدن باعث کاهش

تخلخل، انسداد و يا کوچکترشدن مجاري ارتباط دهنده فضاهای خالی (Pore Throats) و در نتيجه کاهش تراوایي و کيفيت مخزنی سنگ می گردد. از طرف ديگر برخی از فرآيندهای ديازنتيکی همچون دولوميتي شدن، انحلال و ايجاد شکستگی عموماً باعث افزایش تخلخل و تراوایي سنگ شده و کيفيت مخزنی را بهبود می بخشد.

#### ۱-۲-۱-۵- فرآيندهای ديازنتيکی کاهش دهنده تخلخل و تراوایي

مهمترین عوامل ديازنتيکی کاهش دهنده تخلخل و تراوایي، در سازند قم، تراكم و سيمانی شدن می باشد.

#### تراكم (Compaction)

فرایند تراكم، بویژه، در چند صد متر اولیه عمق تدفین رسوبات نقش بسیار مهمی در کاهش تخلخل رسوب ایفا می نماید، بطوریکه میزان تخلخل آهکهای دانه ریز میکرایتی بخش e<sub>4</sub> و e<sub>5</sub> صرفاً در نتیجه تراكم، از حدود ۷۰٪ (Tucker, 1991) به کمتر از ۱۵٪، در اعمق حدود ۱۰۰۰ متری کاهش يافته است. اثرات تراكم به شکل رگه های انحلالی و استیلولیتها در نمونه های مورد مطالعه قبل مشاهده می باشد.

#### سيمانی شدن (Cementation)

سيمان بویژه سيمان كلسیتی در محیطهای مختلف ديازنتی، بصورت سيمان تیغه ای حاشیه ای، سيمان كلسیت هم بعد، سيمان حاشیه ای هم محور و سيمان فراغیرنده، فضاهای خالی بین دانه ای، درون دانه ای و مجاري ارتباطي بین آنها و همچنین بعضأ شکستگيهای و حفرات انحلالی را اشغال نموده و بدین ترتيب نقش مهمی در کاهش تخلخل و تراوایي سازند قم داشته است. مقدار سيمان در سازند قم بین ۵ تا ۵۰ درصد در تغيير است. بيشترین توسعه سيمانی شدن در پکستون-گريينستون های بخش e<sub>3</sub> و e<sub>1</sub>، که به رخساره های ريف و بخش جلویی آن تعلق دارند، يافت می شود. سيمانی شدن شدید، بویژه در فواصل ۳۳۵۷-۳۳۶۲ و ۳۳۸۸-۳۳۹۴ متری، که متعلق به رخساره جلوی ريف در بخش e<sub>1</sub> سازند قم می باشد، باعث کاهش تخلخل از حدود ۴ درصد به مقدار متوسط ۱ درصد شده است. به همين ترتيب پديده سيمانی شدن در فاصله ۳۲۷۶-۳۱۸۶ متری در چاه البرز ۶ منجر به کاهش متوسط تخلخل از حدود ۶ درصد، در بخش e<sub>6</sub>، به کمتر از ۲ درصد گردیده است. در اين فواصل با وجود مشاهده فضای بین دانه ای (IGV) بالادر مقاطع ميكروسکپی، بدليل اشغال بخش زيادي از فضاها توسط سيمان كلسیتی (۳۰-۵۰ درصد)، تخلخل و تراوایي به شدت کاهش يافته است.

### ۲-۱-۵- فرآیندهای دیاژنزی افزایش دهنده تخلخل و تراوایی

مهمترین فرآیندهای دیاژنتیکی که تا حدودی باعث افزایش تخلخل و تراوایی بخش‌های کربناته سازند قم شده است، پدیده اتحلال و توسعه شکستگی‌ها می‌باشد که اولی، عمدتاً، باعث افزایش تخلخل شده و دومی افزایش تراوایی را سبب گشته است.

#### تحلال (Dissolution)

فرآیند اتحلال، که بیشتر بصورت تخلخل قالبی و حفره‌ای در مقاطع نازک و حتی نمونه‌های مغزه قابل روئیت است، غالباً در رخساره‌های پکستون-گرینستون متعلق به رخساره‌فلات محدود شده (Restricted Shelf) و پشته‌های اووئیدی (Oolitic Shoals) دیده می‌شود. این موضوع به این دلیل است که محیط‌های کم عمق رمپ کربناته یا رمپ داخلی (Inner Ramp) بیشتر در معرض تغییرات سطح آب دریا می‌باشد در نتیجه در موقع پسروی آب دریا، آنها در معرض آبهای متئوریک تحت اشباع نسبت به  $\text{CaCO}_3$  گردیده و حاصل آن اتحلال بخش‌های قابل حل نظیر اووئیدها و قطعات اسکلتی آرگونیتی در این بخش‌ها خواهد بود (McLlimans and Videtich, 1989).

بخش  $c_3$  قابل مشاهده می‌باشد. پدیده اتحلال باعث افزایش تخلخل پلاگ حل نظیر اووئیدها و قطعات اسکلتی آرگونیتی در این بخش‌ها خواهد بود (لایه اووئیدگرینستون) گردیده است.

#### گسترش شکستگی‌ها (Fracturing)

شکستگی‌ها از مهمترین عوامل دیاژنزی افزایش دهنده تراوایی سازند قم می‌باشند بطوریکه باعث افزایش تراوایی از کمتر از ۰/۱۰ میلی دارسی در ماتریکس فاقد شکستگی به حدود ۴۹/۵۵ میلی دارسی در بخش‌های واجد شکستگی گردیده است.

شکستگی‌های موجود در بخش‌های  $e$  و  $c_4$  سازند قم با فراوانی و بازشدنگی مختلف مشاهده می‌شود. اکثر شکستگی‌ها دارای بازشدنگی ۳۰ تا ۲۰ میکرون بوده (تصویر ۱) و شکستگی‌های بازشدنگی بیشتر، که بعضاً بازشدنگی آنها به ۱ سانتی‌متر نیز می‌رسد، غالباً بوسیله سیمان کلسیت اسپاری پر شده‌اند.

به لحاظ اهمیت شکستگی‌ها در تراوایی سازند قم، با مطالعه حدود ۲۰۰ متر نمونه‌های مغزه متعلق به بخش  $e$ ، فاصله بین شکستگی‌ها و میزان بازشدنگی آنها برداشت گردید. با توجه به وضعیت افقی شکستگی‌ها ( $a = 0$ ) و با استفاده از معادله Huitt (1966) و Parsons (1966) که جهت محاسبه تراوایی افقی ( $K_H$ ) در یک ماتریکس حاوی شکستگی ارائه شده است، مقدار تراوایی افقی در سراسر بخش  $e$  محاسبه گردید.

معادله (1966) Parsons و Huitt (1966) جهت محاسبه تراوایی افقی عبارت است از:

$$K_H = K_m + (8.44 \times 10^7 \times W^3 \times \cos^2 \alpha) / L$$

$K_H$ : تراوایی افقی(میلی دارسی)

$K_m$ : تراوایی ماتریکس(میلی دارسی)

$W$ : پهنا یا بازشدنگی شکستگی(میلیمتر)

$L$ : فاصله بین شکستگیها(میلیمتر)

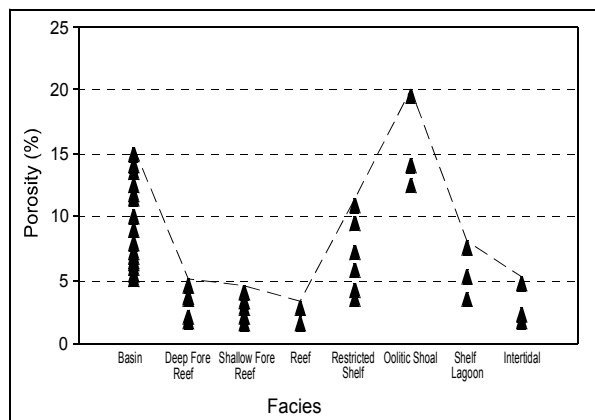
$\alpha$ : زاویه انحراف شکستگیها از حالت افقی(درجه)

جهت محاسبه تراوایی، مقدار بازشدنگی شکستگیها بطور متوسط ۰/۰۲۵ میلیمتر (۲۵ میکرون)، شکستگیها به حالت افقی ( $a = 0$ ) و فاصله بین شکستگیها در اعماق مختلف ۲، ۳ و ۴ سانتیمتر و بیشتر (بر اساس مطالعه مغزه ها و مقاطع نازک) در نظر گرفته شده است. بدین ترتیب مقدار تراوایی بدست آمده با این روش در محدوده  $57/34 - 0/01 < \text{میلی دارسی}$  تغییر می کند. تراوایی بدست آمده به روش فوق تا حد زیادی با تراوایی بدست آمده از نمونه های مغزه کامل ( $49/55 - 0/01$  میلی دارسی) مطابقت می نماید.

#### ۶- تأثیر محیط رسوبی بر تخلخل و تراوایی

همانطور که اشاره شد مهمترین عوامل کنترل کننده تخلخل و تراوایی سازند قم فرآیندهای دیاژنیک می باشد. اما از آنجائیکه بخش زیادی از این فرآیندهای دیاژنیک بویژه انحلال و سیمانی شدن در محیط رسوبگذاری و در طی دیاژنز اولیه (Early Diagenesis) رخ داده است لذا پارامترهای مخزنی ارتباطی را نیز با رخساره های رسوبی نشان میدهند (شکل ۶)، بطوریکه، بدون درنظر گرفتن شکستگیها، بیشترین مقادیر تخلخل و تراوایی در بخش های کم عمق و پرانرژی رمپ داخلی (Inner Ramp) یا میکروفاسیس های ۵ و ۶ متعلق به فلات محدود شده تراوایی نیز در رخساره های لاغون (Shelf Lagoon) یا میکروفاسیس ۷، ریف (Reef) و بخش جلوئی آن (Deep and Shallow fore reef) یا میکروفاسیس ۲، ۳ و ۴ (بدلیل سیمانی شدن شدید) مشاهده می شود. رخساره های عمیق حوضه (Basin) یا میکروفاسیس ۱ تخلخل و تراوایی بسیار متغیری از خود نشان می دهد (شکل ۶) که به دلیل تغییر فراوانی در صد رس و تراکم شکستگیها می باشد.

در ضمن ایجاد شکستگی که سبب افزایش تراوایی به بیش از ۴۹/۵ میلی دارسی در سازند قم گردیده است عمدتاً در یک رخساره خاص، که مارنها و آهکهای مارنی متعلق به حوضه (Basin) می‌باشد، ملاحظه می‌شود و این موضوع سبب شده است که بخش‌های تولید کننده در چاههای البرز صرفاً منطبق بر مارنها و آهکهای مارنی واجد شکستگی باشد.



شکل ۶ - نمودار تغییرات درصد تخلخل در رخساره‌های مختلف سازند قم.

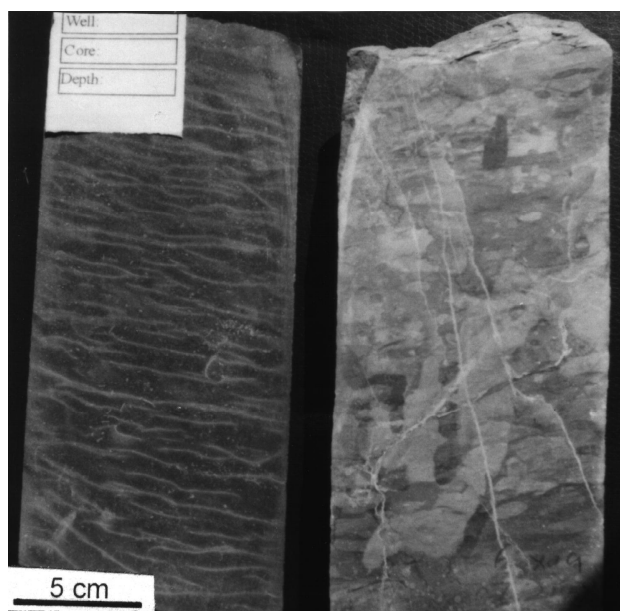
#### ۷- پتروفاسیس ها (Petrofacies)

در سنگهای مخزن کربناته، با توجه به خصوصیات پتروفیزیکی و رخساره‌ای، می‌توان بخش‌های متفاوت را در قالب پتروفاسیس ها (Petrofacies) از یکدیگر تفکیک نمود (Kopaska-Merkel, 1989 & Lucia, 1995).

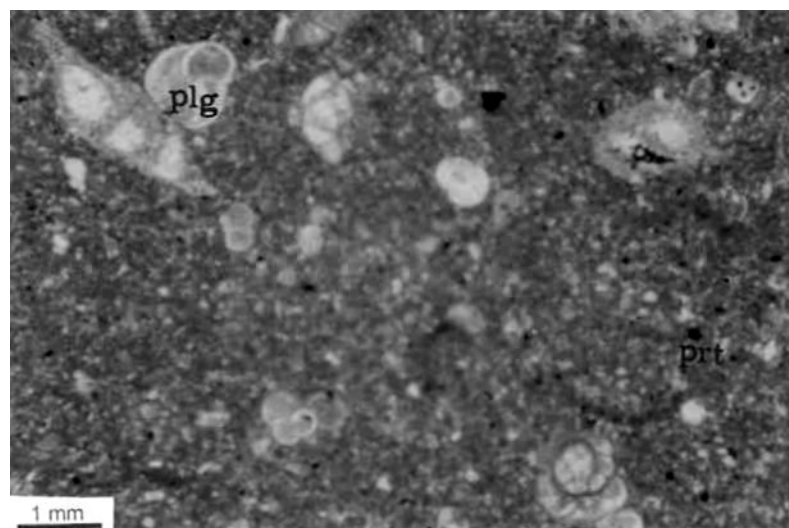
با توجه به ویژگیهای پتروفیزیکی (موقعیت نمونه‌ها روی نمودار تخلخل-تراوایی، شکل ۵ و جدول ۴) و رخساره‌ای بخش‌های کربناته سازند قم، ۳ پتروفاسیس و یا به عبارت دیگر ۳ واحد جريانی (Flow Unit) در آن قابل تفکیک می‌باشد. این پتروفاسیس‌ها عبارتند از:

#### پتروفاسیس ۱

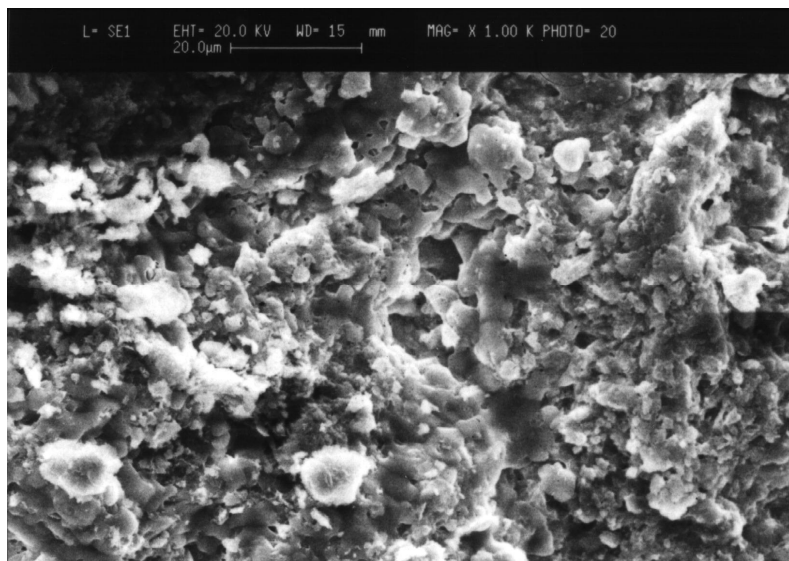
این پتروفاسیس شامل مارنها و آهکهای مارنی یا پلاژیک مادستون- و کستون‌ها می‌باشد (تصاویر ۱، ۲ و ۳). در نمونه‌های متعلق به این پتروفاسیس مقدار تخلخل، بدلیل تغییر درصد رس (Clay Size Fraction) و مقدار تراوایی بدلیل تغییر تراکم شکستگی‌ها (Fracture Density) در یک محدوده وسیع تغییر می‌کند، بطوریکه مقدار تخلخل و تراوایی به ترتیب در محدوده



تصویر۱- نمونه های مغزه متعلق به پتروفاسیس ۱. شکستگیهای افقی به موازات سطح لایه بندی، با بازشده‌گی ۲۵ میکرون و شکستگیهای عمودی پرشده با سیمان کلسیتی.



تصویر۲ - یک پلازیک و کستون (آهک مارنی) متعلق به پتروفاسیس ۱. فرامینیفرهای پلازیک (plg) و ذرات پراکنده پیریت (prt) قابل مشاهده می باشد، نور پلاریزه.



تصویر ۳ - تصویر SEM از ریز تخلخل موجود در آهکهای مارنی پتروفاسیس ۱.

درصد و ۴/۸۱-۱۵/۱ میلی دارسی در تغییر می باشد. تخلخل غالباً از نوع ریز تخلخل (Microporosity) می باشد که به دلیل کوچک بودن گلگاههای تخلخل (Pore Throats)، تراوایی بسیار کم می باشد. این پetrofasis عمدتاً با رخساره های حوضه و لagon (Basin) منطبق می باشد. این پetrofasis را می توان، بر حسب وجود یا عدم وجود شکستگی ها، به ۲ بخش تقسیم نمود که عبارتند از :

- ۱- بخش های فاقد شکستگی که دارای تراوایی کمتر از ۱۰/۰ میلی دارسی می باشند.
- ۲- بخش های دارای شکستگی که تراوایی در آنها به ۴۹.۵۵ میلی دارسی نیز می رسد.

جدول ۴ - ویژگی های رخساره ای و پetrofasis های مختلف سازند قم

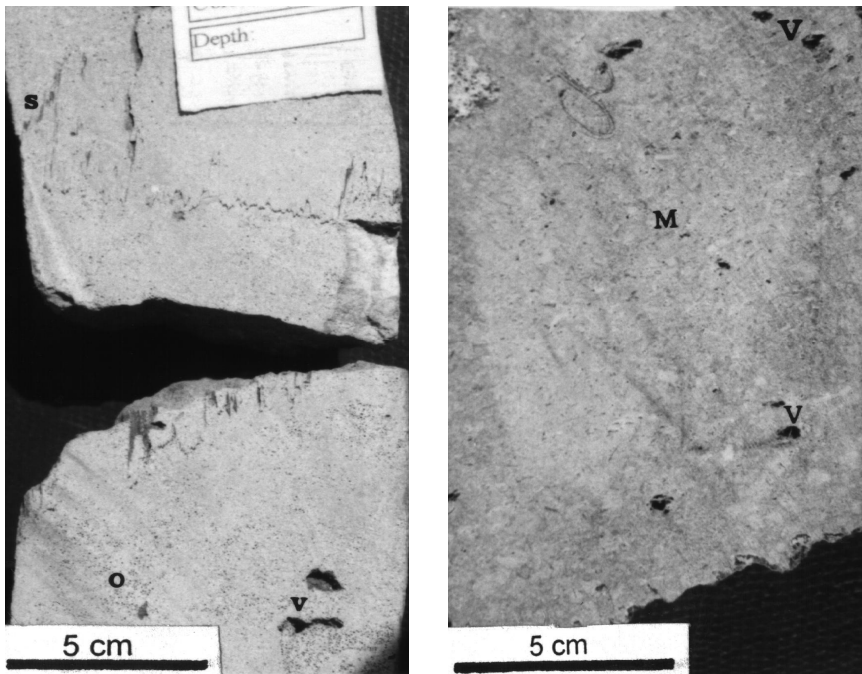
Petrofacies	Lithology	Microfacies	Porosity (%)	Porosity Type	Permeability (md)
I					
IA	Pelagic Wackestone	1	4.81-15.1	Microporosity	0.01
IB	Pelagic Wackestone	1	4.81-15.1	Microporosity	>0.01-49.55
II					
IIA	Ooid grainstone	6	12.9-15.9	Oomoldic, Biomoldic and Vuggy	0.05-1
IIB	Bioclastic packstone-grainstone	5	9.2-12.9	Biomoldic and Vuggy	0.05-0.09
III	Bioclastic wackstone-packstone / grainstone	2, 3 & 4	1.5-5.2	Inter & Intraskeletal	0.01

## پتروفاسیس ۲

این پتروفاسیس شامل بایوکلاستیک پکستون-گرینستون ها و اووئیدگرینستونها می باشد. نمونه های متعلق به این پتروفاسیس با توجه به نوع رخساره، نوع و درصد تخلخل و مقدار تراوایی به دو زیرگروه قابل تقسیم بندی می باشند که عبارتند از:

### پتروفاسیس ۲A

این پتروفاسیس شامل اووئید گرینستونهای متعلق به رخساره پشته های اوئیدی (Oolitic Shoal) می باشد ( تصاویر ۴، ۶ و ۸). تخلخل در نمونه های متعلق به آن در محدوده ۱۵/۹-۱۲/۹ درصد و غالبا از نوع تخلخل قالبی اوئیدی و تخلخل حفره ای می باشد. تراوایی نیز در محدوده ۰۵-۱۰ میلی دارسی در تغییر است.

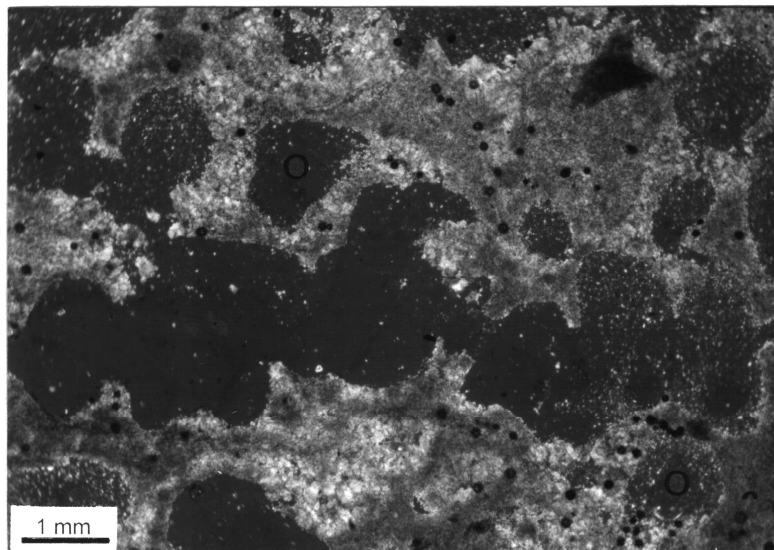


تصویر ۴ - نمونه مغزه از اووئید گرینستونهای متعلق به پتروفاسیس ۲A. انواع تخلخل قالبی اوئیدی (O) و حفره ای (V) و استیلولیتها (S) قابل مشاهده می باشد.

تصویر ۵ - نمونه مغزه از پکستون-گرینستونهای متعلق به پتروفاسیس ۲B. انواع تخلخلهای حفره ای (V) و قالبی اسکلتی (M) قابل مشاهده می باشد.

### پتروفاسیس ۲B

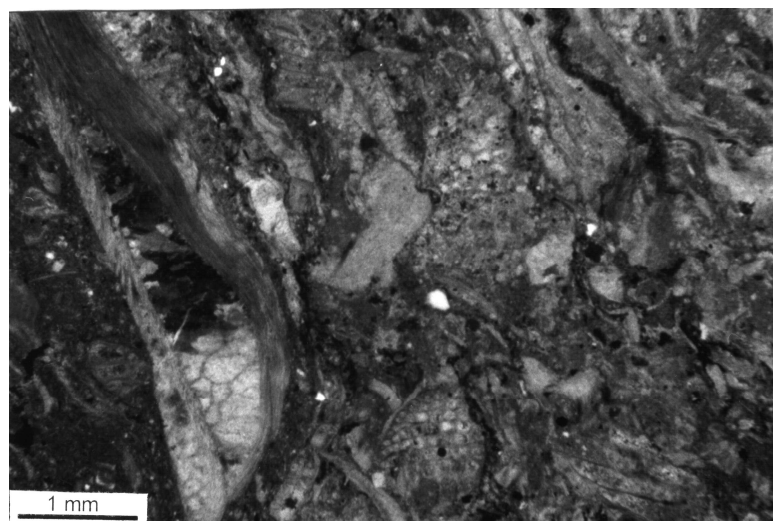
این پتروفاسیس شامل بایوکلاستیک پکستون-گرینستون های متعلق به رخساره فلات محدود شده (Restricted Shelf) می باشد (تصویر ۵). تخلخل در نمونه های متعلق به این گروه عمدها از نوع تخلخل قالبی اسکلتی و تخلخل حفره ای بوده و در محدوده  $9/2 - 12/9$  درصد در تغییر است. تراوایی نیز در محدوده  $0/0 - 0/5$  میلی دارسی تغییر می کند.



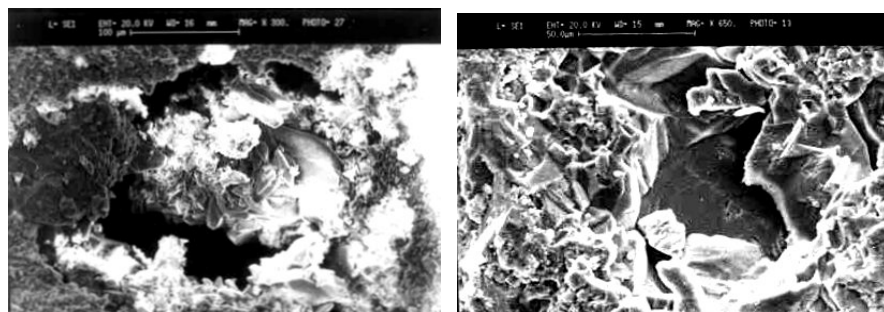
تصویر ۶ - مقطع نازک از اووئید گرینستونهای متعلق به پتروفاسیس ۲A. تخلخل قالبی اووئیدی (O) و سیمان کلسیت اسپاری دروزی مشاهده می شود، نور پلاریزه با تیغه ژیپس.

### پتروفاسیس ۳

این پتروفاسیس در برگیرنده بایوکلاستیک وکستون-پکستون ها و پکستون-گرینستون های متعلق به رخساره های ریف (Reef) و بخش جلوی ریف (Fore Reef) می باشد (تصاویر ۷ و ۹). تخلخل و تراوایی در این پتروفاسیس کم بوده بطوریکه تخلخل در محدوده  $1/5 - 5/21$  درصد در تغییر است و تراوایی  $0/0 - 0/1$  میلی دارسی می باشد. پائین بودن کیفیت مخزنی در نمونه های متعلق به این پتروفاسیس بدلیل تاثیر فرآیندهای دیاژنتیک بویژه تراکم و سیمانی شدن شدید می باشد.



تصویر ۷ - مقطع نازک از بایوکلاستیک پکسٹونهای متعلق به پتروفاسیس ۳، نور پلاریزه.



تصویر ۸ - تصویر SEM از تخلخل  
قالبی اووئیدی در اووئیدگرینستونهای  
پتروفاسیس ۲A .

تصویر ۹ - تصویر SEM از سیمان  
کلسیت اسپاری در بایوکلاستیک  
پکسٹونهای پتروفاسیس ۳.

همانطور که ملاحظه می شود بیشترین و فراوانترین مقادیر تخلخل و تراوایی در مارنها و آهکهای مارنی پتروفاسیس ۱ وجود دارد (جدول ۴). با توجه به این تقسیم بندی، بنظر می رسد که تنها بخشهایی که در قالب پتروفاسیس ۱ جای می گیرند قابلیت تولید هیدروکربور خواهند داشت. در سازند قم نیز این ویژگیها عمدتاً در مارنها و آهکهای مارنی دارای شکستگی بخش ۶ ملاحظه می شود بطوریکه زونهای تولیدکننده در چاههای البرز ۹، ۱۰ و ۱۱ عملاً منطبق بر همین مناطق می باشند. دو ویژگی مهم و قابل بحث در مارنها و آهکهای مارنی بخش ۶، توسعه شکستگیها و وجود رس می باشد. فراوانی شکستگیها و تاثیر آنها در افزایش تخلخل و تراوایی سازند قم در بخش

" تأثیر دیاژنز بر تخلخل و تراوایی " بررسی شد. در این قسمت به تأثیر فراوانی ذرات رسی (Clay Size Fraction) بر ویژگیهای مارنها و آهکهای مارنی سازند قم پرداخته می‌شود.

#### ۸-تأثیر فراوانی ذرات رسی بر ویژگیهای مخزنی پتروفاسیس<sup>۱</sup>

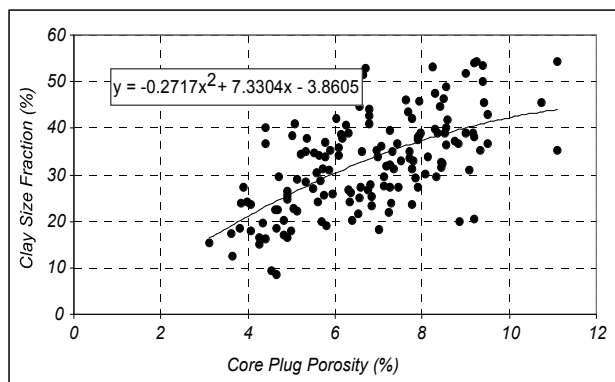
به منظور دستیابی به تغییرات درصد رس و تأثیر آن بر میزان تخلخل و اشباع شدگی هیدروکربور و آب، به ترتیب زیر عمل شد.

با داشتن درصد اجزاء محلول در اسید کلریدریک (HCl) (درصد کربنات کلسیم) مربوط به تعداد ۱۵۰ نمونه از بخش ۶ چاه البرز ۱۱ و در نظر گرفتن مقدار متوسط ۸ درصد بعنوان درصد اجزاء غیر محلول، اعم از اجزاء آواری، مواد آلی و پیریت (با مطالعه مقاطع میکروسکوپی) متعلق به این پetrofasis، درصد ذرات رسی (Clay Size Fraction) در سراسر بخش ۶ سازند قم به صورت زیر محاسبه گردید:

$$\text{Insoluble Material in Acid (\%)} = 100 - \text{Soluble Material in Acid (\%)}$$

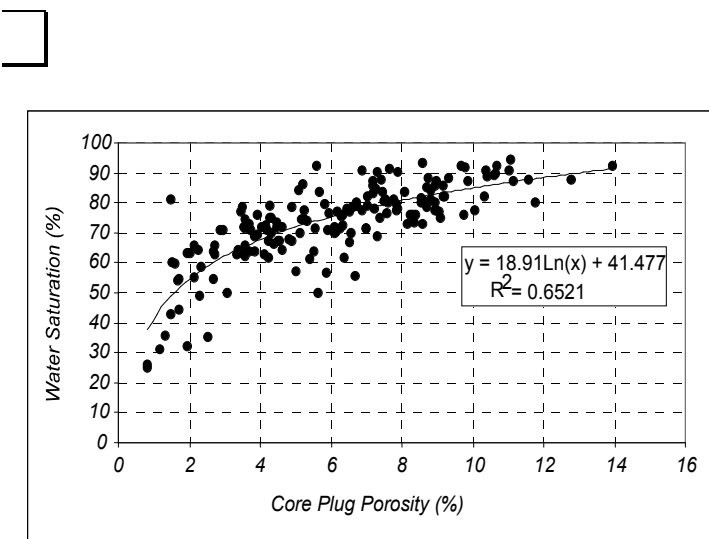
حال با داشتن درصد ذرات رسی، اولاً: بخش ۶ سازند قم به بخش‌های مارنی و آهک مارنی قابل تفکیک می‌باشد، ثانیاً: بر اساس نمودار تغییرات درصد ریزتخلخل (Microporosity) و همچنین اشباع شدگی هیدروکربور و آب نسبت به درصد ذرات رسی، تأثیر فراوانی ذرات رسی بر میزان تخلخل و اشباع شدگی هیدروکربور و آب در بخش ۶ بررسی گردید.

نمودار شکل ۷ نشان می‌دهد که با افزایش درصد رس در نمونه‌های متعلق به پetrofasis<sup>۱</sup>، درصد تخلخل بدست آمده از پلاگ افزایش پیدا می‌کند. با درنظر گرفتن این موضوع و با توجه به نوع رخساره که یک مادستون-پکستون می‌باشد به نظر می‌رسد که تخلخل عمدتاً از نوع ریزتخلخل (Microporosity) باشد.

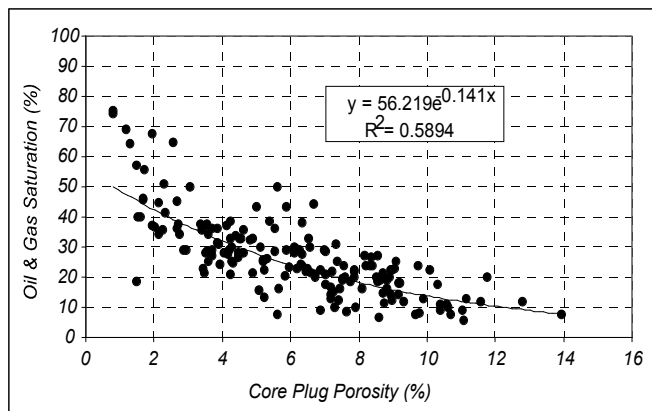


شکل ۷ - نمودار تغییر درصد تخلخل پلاگ نسبت به تغییر درصد رس در بخش ۶ سازند قم.

نمودار شکل‌های ۸ و ۹ نشان می‌دهد که با افزایش درصد تخلخل در نمونه‌های پتروفاسیس ۱ درصد اشباع شدگی آب افزایش و بالعکس درصد اشباع شدگی هیدروکربور (نفت و گاز) کاهش می‌یابد. بنابر این می‌توان نتیجه گرفت که در مارنهای و آهکهای مارنی پتروفاسیس ۱ اولاً، تخلخل از نوع ریزتخلخل (Microporosity) می‌باشد که با افزایش درصد رس افزایش می‌یابد، ثانیاً این تخلخل‌ها عمدتاً بوسیله آب اشباع شده است. جهت بررسی صحت این نتیجه گیری رابطه (1950) Craze بکار گرفته شد. عنوان می‌کند که در مخازن کربناته فشرده و دانه ریز، ریزتخلخل‌ها عمدتاً توسط آب اشغال شده است و رابطه ذیل بین تخلخل کل (Total Porosity)، تخلخل ریزماتریکس (Microporosity) و اشباع شدگی آب برقرار می‌باشد:

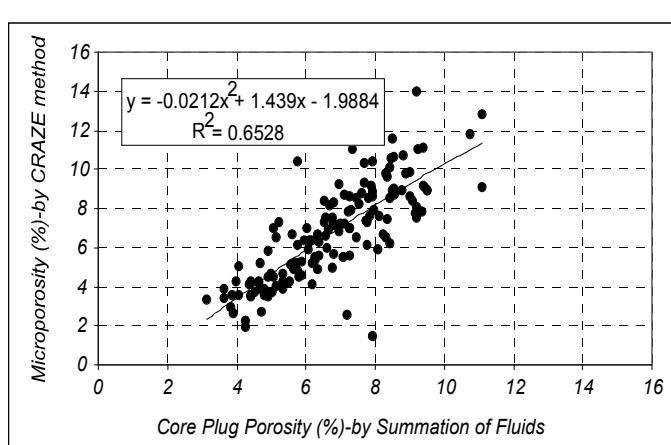


شکل ۸ - نمودار تغییر درصد اشباع شدگی آب نسبت به تغییر درصد تخلخل پلاگ در بخش ۴ سازند قم.



شکل ۹ - نمودار تغییر درصد اشباع شدگی نفت و گاز نسبت به تغییر درصد تخلخل پلاگ در بخش e سازند قم.

لذا، در نمونه های بخش e سازند قم در چاه البرز ۱۱، با درنظر گرفتن تخلخل بدست آمده از معجزه کامل (Whole Core Porosity) به عنوان تخلخل کل و با داشتن اشباع شدگی آب، مقدار ریزتخلخل نمونه های مذکور، با استفاده از رابطه Craze (1950)، بدست آمد. سپس این مقادیر در مقابل تخلخل بدست آمده از نمونه های پلاگ مربوط به همان نمونه ها در قالب نمودار شکل ۱۰ رسم گردید.



شکل ۱۰ - رابطه تخلخل بدست آمده از نمونه های پلاگ با تخلخل بدست آمده با استفاده از رابطه Craze (1950).

در این نمودار، ضریب انطباق (Correlation Coefficient) بالا و شبیه نزدیک به ۴۵ و عرض از مبدأ نزدیک صفر برای خط برازش یافته، مجموعاً نشان دهنده نزدیک بودن مقادیر تخلخل بدست

آمده از دو روش فوق می باشد که اين موضوع، همانطور که اشاره شد، تأييد می کند، اولاً تخلخل در پتروفاسيس از نوع ريزتخلخل بوده و ثانياً اين ريزتخلخل ها عمدتاً توسيط آب اشبع شده اند.

البته اين موضوع نبايستي نادideh گرفته شود که درصد اشبع شدگی آب ( $S_w$ )، علاوه بر درصد ريزتخلخل موجود در سنگ،تابع فاكتور ديگري نيز می باشد که تحت عنوان فاصله از سطح تماس آب و نفت (Oil-Water Contact) قابل بررسی می باشد، به اين مفهوم که، حتى در يك مخزن كاملاً هموزن از نظر ويژگيهای پتروفيزيکي، با نزديکتر شدن به سطح تماس آب و نفت، درصد اشبع شدگی آب افزايش می يابد و به اين ترتيب چنین به نظر ميرسد که تخلخل بدست آمده با استفاده از معادله Craze فقط زمانی معتبر است که نمونه های مورد مطالعه تقریباً متعلق به يك عمق باشند.اما تطابق نسبتاً قابل قبول مقادیر تخلخل پلاگ با تخلخل حاصل از روش مذکور در اين فواصل محدود تا حدی می تواند نشان دهنده صحت نتایج حاصله باشد.

بنابر اين می توان نتيجه گرفت که:

بخش  $\epsilon$  سازند قم متشكل از تناوب مارن و آهک مارنی می باشد که قسمتهای مارنی بيشتر در بخش بالاي وجود داشته و به طرف قاعده، عمدتاً، به آهک مارنی تبدیل می شود. با افزایش درصد ذرات رسی در بخش  $\epsilon$ ، درصد ريز تخلخل (Microporosity) افزایش می يابد، بنابر اين بخشهاي مارنی نسبت به بخشهاي آهک مارنی از تخلخل بيشتری برخوردارند.

با افزایش درصد ذرات رسی در بخش  $\epsilon$ ، درصد اشبع شدگی آب ( $S_w$ ) افزایش و بالعکس درصد اشبع شدگی نفت و گاز ( $S_{HC}$ ) کاهش می يابد. اين موضوع به دليل اين است که ضمن افزایش درصد ذرات رسی، به لحاظ افزایش درصد ريزتخلخل، کشنش سطحي ماتريکس رسی نسبت به آب بيشتر شده و متعاقب آن درصد اشبع شدگی آب غير قابل استحصال افزایش و درصد اشبع شدگی نفت و گاز کاهش می يابد.

اينگونه مخازن، به دليل بالا بودن درصد اشبع شدگی آب غير قابل استحصال، با وجود اشبع شدگی بالاي آب (تا حدود ۷۵٪) قادر به توليد هييدروکربور می باشند و قابلیت تولید در مناطقی که با شکستگیها همراه باشد، به دليل افزایش تراوایی، افزایش خواهد یافت. بهره برداری از چاههای البرز،<sup>۹</sup> ۱۰ و ۱۱ نشان می دهد که مناطق تولید کننده در بخش  $\epsilon$ ، عمدتاً، افهای واجد شکستگی و دارای اشبع شدگی آب در محدوده ۶۷٪-۷۵٪ می باشند که اين موضوع تاييد کننده مطالب فوق می باشد.

## ۹-نتایج

از میان فرایندهای متنوع دیاژنتیکی در سازند قم، تراکم و سیمانی شدن مهمترین فرآیندهای کاهش دهنده تخلخل و تراوایی بوده و انحلال و ایجاد شکستگیها، به ترتیب، مهمترین فرآیندهای افزایش دهنده تخلخل و تراوایی محسوب می‌شوند. بنابراین بیشترین مقادیر تخلخل در رخساره‌های شلف محدود شده و پشت‌های اووئیدی، که عملکرد انحلال در آنها از شدت بیشتری برخوردار بوده است، مشاهده می‌شود و بیشترین تراوایی نیز در مارنهای آهکهای مارنی متعلق به بخش ۴، بدلیل عملکرد شکستگیها، وجود دارد، بالعکس کمترین مقادیر تخلخل و تراوایی در رخساره‌های ریف و بخش جلویی آن، بدلیل عملکرد شدید فرآیندهای تراکم و سیمانی شدن، مشاهده می‌شود.

بیشترین و فراوانترین مقادیر تخلخل و تراوایی در مارنهای آهکهای مارنی پتروفاسیس ۱ مشاهده می‌شود. توسعه شکستگیها باعث تغییر مقدار تراوایی در یک محدوده وسیع در مارنهای و آهکهای مارنی بخش ۶ (پتروفاسیس ۱) گردیده است. تغییر مقدار تخلخل در نمونه‌های متعلق به این پتروفاسیس بدلیل تغییر فراوانی درصد ذرات رسی می‌باشد.

با افزایش درصد ذرات رسی در پتروفاسیس ۱ (بخش ۶)، اولاً: درصد ریز تخلخل (Microporosity) افزایش می‌یابد، بنابراین بخش‌های مارنی نسبت به بخش‌های آهک مارنی از تخلخل بیشتری برخوردارند، ثانیاً: درصد اشباع شدگی آب ( $S_w$ ) افزایش و بالعکس درصد اشباع شدگی نفت و گاز ( $S_{HC}$ ) کاهش می‌یابد. این موضوع بدین دلیل است که ضمن افزایش درصد ذرات رسی، به لحاظ افزایش درصد ریزتخلخل، کشش سطحی ماتریکس رسی نسبت به آب بیشتر شده و متعاقب آن درصد اشباع شدگی آب غیر قابل استحصال افزایش و درصد اشباع شدگی نفت و گاز کاهش می‌یابد. اینگونه مخازن، به دلیل بالا بودن درصد اشباع شدگی آب غیر قابل استحصال، علی الرغم اشباع شدگی بالای آب (تا حدود ۷۵٪) قادر به تولید هیدروکربور می‌باشند و قابلیت تولید در مناطقی که با شکستگیها همراه باشد، به دلیل افزایش تراوایی، افزایش خواهد یافت.

## References

- Choquette, P.W., and Pray, L.C., (1970) *Geologic nomenclature and classification of porosity in sedimentary carbonates*: AAPG Bulletin, **54**, 207-250.
- Craze, R.C., (1950) *Performance of limestone reservoirs*: Trans., AIME, **189**, 287-294.
- Dickson, J.A.D., (1965) *Carbonate identification and genesis as revealed by staining*: J. Sediment. Petrol, **36**(2), 491-505.
- Huitt, J.L., (1966) *Fluid flow in simulated fractures*: AIChE J., **2**(2), 259-264.
- Kopaska-Merkel, D.C., and Friedman, G.M., (1989) *Petrofacies analysis of carbonate rocks: Example from lower Paleozoic Hunton Group of Oklahoma and Texas*: AAPG Bulletin, **73**(11), 1289-1306.
- Lucia, F.J., (1995) *Rock fabric/petrophysical classification of carbonate pore space for reservoir characterization*: AAPG Bulletin, **79**, 1275-1300.
- Mclimans, R. K., and Videtich, P. E., (1989) *Diagenesis and burial history of Great Oolite Limestone, Southern England*: AAPG Bulletin, **73**, 1195-1205.
- Parsons, R.W., (1966) *Permeability of idealized fractured rock*: Soc. Petrol. Eng. Jour. 126-136.
- Sun, S.Q., and Wright, V.P., (1998) *Controls on reservoir quality of an upper Jurassic reef mound in the Palmers Wood Field area, Weald Basin, Southern England*: AAPG Bulletin, **82**(3), 497- 515.
- Tucker, M.E., (1991) *Sedimentary petrology: An introduction to the origin of sedimentary rocks*. 2nd., Blackwell, 260 pp.
- باغبانی، داریوش، الهیاری، مرتضی، و شاکری، علیرضا (۱۳۷۵) بررسی حوضه رسوبی قم و ارزیابی توان هیدرولکتروی آن (ایران مرکزی). شرکت ملی نفت ایران، گزارش زمین شناسی شماره ۱۸۳۸، ۱۰۴ صفحه.
- رضایی، محمدرضا، هنرمند، جواد و اخروی، رسول، (۱۳۷۹) میکروفاسیس و محیط رسوبی سازند قم در تاقدیس البرز، حوضه قم، ایران مرکزی. مجله علوم دانشگاه تهران، جلد ۲۶، صفحه ۱۳۹-۱۵۶.
- هنرمند، جواد (۱۳۷۸) ارزیابی مخزنی سازند قم در تاقدیس البرز، حوضه قم، ایران مرکزی، پایان نامه کارشناسی ارشد، دانشکده علوم دانشگاه تهران، ۱۵۲ صفحه.